

УПРУГИЕ СВОЙСТВА ПОЛИКРИСТАЛЛИЧЕСКИХ ПЛЕНОК Pd, PdH_{0.66} И Ni

B. I. Анисимкин, И. М. Котелянский

Палладий и никель, обладающие высокой эффективностью к адсорбции водорода [1], являются перспективными материалами для каталитических покрытий в датчиках водорода на основе поверхностных акустических волн. При расчете характеристик таких датчиков необходимо иметь данные об эффективных упругих модулях каталитических покрытий, которые имеют поликристаллическую структуру и упругие свойства, отличающиеся от упругих свойств монокристаллов [2].

В настоящей работе рассчитаны эффективные упругие модули \hat{C}_{11} , \hat{C}_{12} и \hat{C}_{44} поликристаллов Pd, PdH_{0.66} и Ni. Расчет проводился на основе данных об упругих модулях монокристаллов [3, 4] в приближении Хилла. Согласно этому приближению, в качестве эффективных значений модулей принимаются среднеарифметические из величин, полученных усреднением в приближении Войта (V) и Ройса (R). В свою очередь значения упругих модулей по Войту и Ройсу рассчитывались с использованием выражений работы [2], преобразованных нами применительно к поликристаллическим изотропным материалам

$$\begin{aligned} C_{11}^V &= 0.2[3C_{11} + 2C_{12} + 4C_{44}], \\ C_{12}^V &= 0.2[C_{11} + 4C_{12} - 2C_{44}], \\ C_{44}^V &= 0.2[C_{11} - C_{12} + 3C_{44}], \end{aligned} \quad (1)$$

$$\begin{aligned} C_{44}^R &= 5[C_{44}(C_{11} - C_{12})]/[4C_{44} + 3(C_{11} + C_{12})], \\ C_{12}^R &= (1/3)[(C_{11} + 2C_{12}) - 2C_{44}^R], \\ C_{11}^R &= (1/3)[(C_{11} + 2C_{12}) + 4C_{44}^R], \end{aligned} \quad (2)$$

$$\hat{C}_{ij} = (1/2)[(C_{ij}^V + C_{ij}^R)]. \quad (3)$$

Полученные результаты представлены в таблице, из которой видно, что при переходе от монокристаллического к поликристаллическому состоянию различные упругие модули одного и того же вещества претерпевают различные изменения как по величине, так и по знаку. Так, модуль \hat{C}_{11} увеличивается на 10–20 %, а модули \hat{C}_{12} и \hat{C}_{44} уменьшаются на 8–35 %. Переход же от поликристаллического Pd к поликристаллическому PdH_{0.66}, который моделирует собой изменение упругих свойств палладия, возникающее при адсорбции водорода, сопровождается уменьшением упругих модулей соответственно на –6.7 % ($\Delta\hat{C}_{11}/\hat{C}_{11}$), –8.8 % ($\Delta\hat{C}_{12}/\hat{C}_{12}$) и –3.2 % ($\Delta\hat{C}_{44}/\hat{C}_{44}$). Плотность палладия $\hat{\rho}$ при этом также уменьшается на –10 % [3].

Упругие свойства Pd, PdH_{0.66} и Ni

Материал	$\hat{\rho}$	\hat{C}_{11}	\hat{C}_{12}	\hat{C}_{44}
Pd монокристалл [3] поликристалл	12.0 —	224.5 253.4	173.5 159.0	71.1 47.2
PdH _{0.66} монокристалл [3] поликристалл	10.84 —	212.2 236.3	157.0 145.0	64.0 45.7
Ni монокристалл [4] поликристалл	8.97 —	261 312	151 126	132 93

Примечание. $\hat{\rho}$ — в 10^3 кг/м³, \hat{C}_{ij} — в 10^9 Н/м².

Список литературы

- [1] Christofides C., Mandelis A. // J. Appl. Phys. 1990. V. 68. N 6. P. R1—R30.
- [2] Borchi E., De Gennaro S., Lombardini L., Zolli M. // Phys. Stat. Sol. (a). 1987. V. 104. P. 667—678.
- [3] Hsu D. K., Leisure R. G. // Phys. Rev. 1979. V. B20. N 4. P. 1339—1344.
- [4] Фарнелл Дж. Физическая акустика: Пер. с англ. М.: Мир, 1973. С. 139—202.

Институт радиотехники и электроники
АН СССР
Москва

Поступило в Редакцию
25 февраля 1991 г.

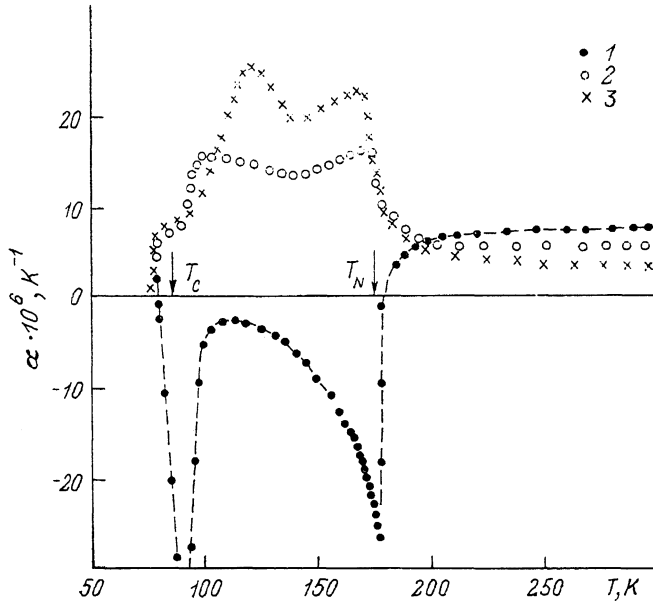
УДК 539.379.2 : 546.664

© Физика твердого тела, том 33, № 9, 1991
Solid State Physics, vol. 33, N 9, 1991

ВЛИЯНИЕ ПЛАСТИЧЕСКОЙ ДЕФОРМАЦИИ НА ТЕПЛОВОЕ РАСПИРЕНИЕ ПОЛИКРИСТАЛЛИЧЕСКОГО ДИСПРОЗИЯ

С. М. Бармин, С. В. Кортов, П. В. Гельд

При проведении исследований влияния пластической деформации на коэффициент теплового расширения (КТР) α поликристаллического диспрозия особое внимание уделялось установлению особенностей их политерм в области магнитного упорядочения и в окрестностях точек фазовых



Температурные зависимости коэффициента теплового расширения поликристаллического диспрозия с различной степенью деформации.

*, %: 1 — 0, 2 — 50, 3 — 90.

переходов. С этой целью были изучены температурные зависимости между 78 и 300 К трех образцов диспрозия марки ДИМ-1. Образец 1 представлял собой параллелепипед ($3 \times 3 \times 15$ мм), вырезанный из нетекстурированного поликристаллического слитка, а образцы 2, 3 — ленты $0.5 \times 10 \times 25$ и $0.07 \times 10 \times 25$ мм соответственно, полученные прокаткой того же слитка с обжатием $\varepsilon=50$ и 90 %.